

ESTRUCTURA DE LA MATERIA 4
SEGUNDO CUATRIMESTRE DE 2018

PRÁCTICA 9: MODELO ESTÁNDAR Y MECANISMO DE HIGGS

The universe is an enormous direct product of representations of symmetry groups.

Steven Weinberg

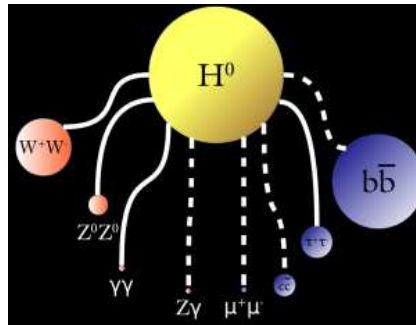


Figure 1: Un diagrama cefalópodo del decaimiento del Higgs, con bosones vectoriales como estados finales en rojo y estados finales fermiónicos en azul. Líneas sólidas corresponden con estados finales que se han observado, y líneas punteadas estados finales aún no vistos. El area de un círculo representa su tasa relativa a aquella del quark bottom, que se espera represente el 60 por ciento de los decaimientos del Higgs (imagen y copete obtenidos de <http://steve.cooleysekula.net/blog/2017/07/06/4864/>)

1. 🐰 Considere un escalar complejo ϕ , tal que su lagrangiano

$$\mathcal{L}^{U(1)} = (\mathcal{D}_\mu \phi)^* (\mathcal{D}^\mu \phi) - \lambda (\phi \phi^* - \frac{v}{2})^2 - \frac{1}{4} F_{\mu\nu} F^{\mu\nu}$$

$(\mathcal{D}_\mu = \partial_\mu + igA_\mu)$ es invariante ante transformaciones locales del grupo U(1)

$$\begin{cases} \phi(x) \rightarrow e^{-ig\chi(x)} \phi(x) \\ A_\mu \rightarrow A_\mu + \partial_\mu \chi(x) \end{cases}$$

Desarrollando el campo $\phi(x)$ según

$$\phi(x) = \frac{1}{\sqrt{2}} (v + h(x))$$

donde $h(x)$ es real, muestre que en el lagrangiano resultante tanto A_μ como h cuentan ahora con términos de masa.

2. Sea el lagrangiano

$$\mathcal{L} = (\partial_\mu \Phi)^\dagger (\partial^\mu \Phi) - \lambda (\Phi^\dagger \Phi - \frac{v^2}{2})^2$$

donde Φ es un doblete de campos escalares complejos $\begin{pmatrix} \phi_1 \\ \phi_2 \end{pmatrix}$ y λ positivo. Suponga que Φ adquiere un valor de expectación en el vacío en algún valor arbitrario, Muestre que si sólo localiza (o gaugea) el grupo de simetría SU(2) del lagrangiano entonces los tres bosones de gauge W adquieren masa, y es la misma para los tres.

3. 🐰 Considere ahora el mismo doblete pero donde gaugeo el grupo $U(1) \times SU(2)$ introduciendo la derivada covariante: $\partial_\mu + i(g'B_\mu \frac{Y}{2} + gW_\mu^a \frac{\sigma_a}{2})$; Y es una matriz diagonal proporcional a la identidad (la hipercarga para el Higgs). Considere que elige el minimo del potencial de Higgs en $\begin{pmatrix} 0 \\ \frac{v}{\sqrt{2}} \end{pmatrix}$. El campo fuera del minimo tendra la forma: $\begin{pmatrix} 0 \\ \frac{v+h(x)}{\sqrt{2}} \end{pmatrix}$ con h real.
- (a) Halle cuales son las combinaciones de campos de gauge que adquieren masa. Recuerde reescribir los W^1 y W^2 en términos de W^+ y W^- .
- (b) Halle el valor del coeficiente en la matriz de hipercarga Y para que uno de los campos masivos sea el campo Z de la guia anterior.
4. 🐰 Muestre a partir el ejercicio anterior que las masas de los bosones W^\pm y Z estan relacionadas entre sí por $\frac{M_W^2}{M_Z^2} = \cos^2(\theta_W)$.
5. La aparición de un campo no masivo (la combinación de la guia anterior de B y W^3 que da el campo A_μ) es consecuencia del hecho de que esta elección del minimo y sus perturbaciones: $\begin{pmatrix} 0 \\ \frac{v+h(x)}{\sqrt{2}} \end{pmatrix}$ (h real) es invariante ante alguna transformación de gauge de $U(1) \times SU(2)$. Proponiendo una transformación de gauge de la forma $e^{i(\alpha \frac{Y}{2} + \beta \frac{\sigma_3}{2})}$, halle la relación entre α y β para que el doblete anterior quede invariante. La combinación de generadores $\alpha \frac{Y}{2} + \beta \frac{\sigma_3}{2}$ sera una matriz diagonal y s proporcional a la carga electromagnetica del doblete. Analice porque esta matriz tiene la interpretación de carga del doblete y confirme que para la matriz hallada dice que el campo inferior del doblete (el campo de Higgs) tiene carga cero.
6. A fin de generar masa a los fermiones, se introducen términos de acoplamiento entre cada doblete de fermiones left y el doblete de campos escalares, de forma tal que sean invariantes ante $U(1) \times SU(2)$. Para el caso del doblete de electrones y neutrinos, para ejemplificar, los términos añadidos son proporcionales a:

$$(\bar{\nu}_e, \bar{e})_L \begin{pmatrix} \phi_1 \\ \phi_2 \end{pmatrix} e_R + \bar{e}_R (\phi_1^*, \phi_2^*) \begin{pmatrix} \nu_e \\ e \end{pmatrix}_L$$

Aquí hemos denotado por e y ν a los campos de Dirac asociados a los electrones y neutrinos. La constante de proporcionalidad de este término puede ser elegida libremente y se denomina acoplamiento de Yukawa.

- (a) Muestre que el término añadido al lagrangiano es invariante ante $SU(2)_L \otimes U(1)_Y$, eligiendo la matriz de hipercarga Y de ejercicios anteriores.
- (b) Muestre que el mecanismo de Higgs genera un término masa para los electrones y otro de interacción entre los electrones y el campo escalar h proporcionales a

$$\bar{e}_R(h + \nu)e_L + \bar{\nu}_L(h + \nu)e_R = \nu \bar{e}e + h \bar{e}e$$

Obs: esta construcción se extiende a todos los fermiones inferiores de cada doblete de manera idéntica. Para los superiores la propuesta anterior debe modificarse ligeramente, pero el resultado final es el mismo: el término resultante es $\bar{\psi}_R(h+v)\psi_L + \bar{\psi}_L(h+v)\psi_R$.

7. Además de dar masa a otros, el campo de Higgs también tiene masa y autointeractúa. Halle la masa y el coupling de autointeracción en términos de los parámetros λ y v .
8. 🐰 Dibuje todos los vértices de interacción que involucren al menos una línea asociada al campo de Higgs.
9. 🐰 Observe el esquema siguiente, donde las líneas indican interacción, y asocie a cada línea el o los términos del Lagrangiano del modelo estándar.

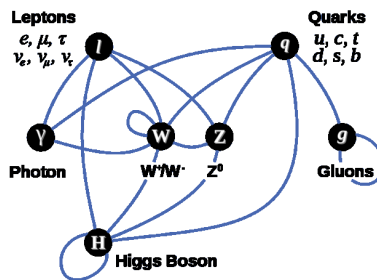


Figure 2: Esquema de las interacciones del modelo estándar